

نشریه علمی(فصلنامه) پژوهش‌های سیاستگذاری و برنامه‌ریزی انرژی

سال پنجم / شماره ۱۶ / پاییز ۱۳۹۸ / صفحات ۹۷ - ۱۲۲

## تأثیر پوشش گیاهی بر کاهش شدت جزایر حرارتی شهری: نمونه موردی کلان شهر تهران

### شهرام پوردیهیمی

استاد، گروه معماری، دانشگاه شهید بهشتی

s-deihimi@sbu.ac.ir

### محمد تحصیل دوست

استادیار، گروه فن ساختمان، دانشگاه شهید بهشتی (نویسنده مسئول)

m\_tahsildoost@sbu.ac.ir

### پوریا عامری

دانشجوی دکتری معماری، دانشگاه شهید بهشتی

P\_ameri@sbu.ac.ir

شهرنشینی از طریق سرعت بخشنیدن به عملیات ساخت و ساز در شهرها، علت اصلی افزایش جذب انرژی حرارتی در نقاط شهری می‌باشد. به علاوه این باشت این انرژی به واسطه ازین رفت و پوشش گیاهی سبب ایجاد پراکنده‌ترین فضایی شد. در این پژوهش تأثیرات پوشش گیاهی و کاربری اراضی بر شیوه پراکنده‌گی فضایی شدت انرژی بازتابشی در کلان شهر تهران مورد بررسی قرار گرفته است. اطلاعات لازم از طرق مختلف جهت سنجش میزان تأثیر فضاهای سبز بر الگوهای فضایی طبقات دمای سطح زمین در شهر جمع آوری شد. دمای سطح زمین با روش سنجش از راه دور ماهواره‌ای و از اطلاعات برداشت شده توسط سنجنده‌های مربوطه ماهواره‌لنست ۸ استخراج، و پوشش گیاهی از طریق به کارگیری روش شاخص اختلاف پوشش گیاهی بهنجار شده به دست آمده است. در انتها به کارگیری این دو شاخص و دسته‌های کاربری اراضی امکان انجام تحلیل‌های پیشتر را موجب شده است. نتایج این پژوهش علاوه بر مشخص کردن شیوه گسترش فضایی طبقات دمایی سرد و گرم در محدوده شهر تهران، اختلاف دمای سطح زمین بین دسته‌های مختلف کاربری زمین را به میزان ۵/۵ تا ۶ درجه سانتیگراد نشان می‌دهد. کاربری اراضی و پوشش سبز شهری نقش حیاتی بر شرایط اقلیمی شهر تهران ایفا کرده و پوشش گیاهی دارای میزان همبستگی منفی قابل توجهی با دمای استخراج شده می‌باشد. در آخر قابلیت‌های بام سبز و پوشش گیاهی در جهت کاهش تأثیر پراکنده جزیره حرارتی در مقیاس شهری مور شده و بر نقش مؤثر راهکارهای توسعه پوشش‌های سبز بر کاهش دمای هوای نزدیک به سطح زمین و دمای سطوح مختلف شهری تأکید شده است. بر اساس نتایج، اقدامات مؤثری می‌تواند از طریق برنامه‌ریزی و در جهت بهبود شرایط اقلیمی شهر صورت پذیرد. بنابراین این پژوهش، مدیران شهری، سیاست‌گذاران و همچنین معمaran را جهت به کارگیری راهکارهایی جهت کاهش شدت اثر و تطبیق مؤثر با پراکنده جزیره حرارتی شهری تشویق می‌کند.

**واژگان کلیدی:** پوشش گیاهی، کاربری زمین، سنجش از راه دور، پراکنده جزیره حرارتی شهری

تاریخ پذیرش: ۱۳۹۸/۷/۱۶

تاریخ دریافت: ۱۳۹۸/۱/۲۳

## ۱. مقدمه

گسترش روزافرونهای محیط‌های شهری و روند صنعتی شدن و مهاجرت جمعیت روستایی به نواحی شهری باعث افزایش جمعیت و نیز توسعه پراکنده در شهرها شده است. اسکان این جمعیت مستلزم توسعه زیرساخت‌های شهری اعم از راه‌ها، پل‌ها، ساختمان‌های مسکونی و ... است که منجر به تغییر الگوی کاربری و پوشش زمین در شهر خواهد شد (Senanayake, Welivitiya and Nadeeka 2013). از دیگر سو و به واسطه تفاوت نوع تبادل انرژی در شهر و محیط طبیعی، اقلیم شهری نسبت به نواحی پیرامون خود و حاشیه شهرها دارای اختلاف در متغیرهای اقلیمی (دما، دمای سطح، رطوبت، سرعت و جهت باد، مقدار بارش) است. این تفاوت‌ها سبب شده متوسط درجه حرارت در شهرها چند درجه بیش از حومه آن باشد و این پدیده با نام جزیره حرارتی شهر<sup>۱</sup> شناخته می‌شود (پوردیهیمی ۱۳۹۰).

سیاست‌ها و عوامل متعددی در ایجاد و شدت پدیده جزایر حرارتی شهری مؤثر هستند. از جمله این موارد، جایگزینی پوشش گیاهی، با ساختارهای مصنوع متنوعی است که علاوه بر ایجاد آلودگی‌های محیطی، تغییرات اقلیمی و برهم خوردن چرخه‌های اکولوژیکی را موجب می‌گردد. سطوح تیره بام و جداره ساختمان‌های بلند، به انضمام خیابان‌ها، پارکینگ‌ها، و پیاده‌روهای پوشیده از آسفالت یا بتون، دارای ضریب بازتاب (آلدوی)<sup>۲</sup> کمتری نسبت به سطوح دیگر هستند. این سطوح مقادیر بیشتری از تابش آفتاب را جذب و به انرژی حرارتی تبدیل می‌کنند و باعث افزایش گرمای محسوس در محیط مجاور خود می‌شوند. بدین گونه انواع جزایر حرارتی (متاثر از دمای هوا یا دمای سطوح) ایجاد می‌گردد (Comarazamy, et al. 2010).

---

1. Urban Heat Island  
2. Albedo

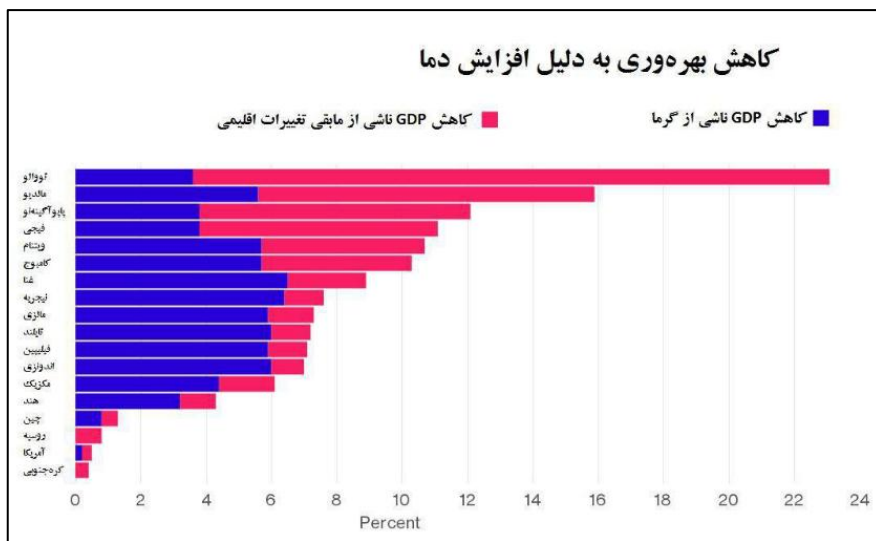
محدوده‌های تحت تأثیر جزایر حرارتی دارای میانگین دمایی بالاتر در تمامی طول سال نسبت به محدوده‌های اطراف بوده و در موقعی که جریان حرکت باد ضعیف است و همچنین در شب‌هنگام این اختلاف تا ۱۲ درجه سانتی گراد نیز می‌رسد (T. Oke, Boundary Layer Climates 1987).

اوک و همکاران معتقدند، هندسه بازتابشی در دره‌های شهری<sup>۱</sup>، ویژگی‌های حرارتی مصالح، و اثر گلخانه‌ای شهری از مهم‌ترین عوامل مرتبط با ایجاد پدیده جزیره حرارتی شهری می‌باشند (Oke, Johnson, et al. 1991). کاربری زمین<sup>۲</sup> و پوشش گیاهی نیز نقش حیاتی در شیوه توزیع فضایی خرد اقلیم‌ها و جزایر حرارتی در محدوده‌های شهری دارند. همچنین در پژوهش‌ها نشان داده شده است که اقلیم شهری تحت تأثیر عوامل متفاوتی نظیر اندازه شهرها، تراکم ساختمان‌ها، شیوه توزیع کاربری‌ها، و شیوه زندگی انسان‌ها در شهرها قرار دارد (T. Oke 1982)، (J. Voogt 2004).

در کشورهای در حال توسعه، توسعه شهری اغلب بدون توجه به لزوم نگهداری و یا افزایش پوشش گیاهی موجود در شهر اتفاق می‌افتد. پوشش گیاهی می‌تواند از طریق امکان ایجاد سایه، و جذب انرژی تابشی دمای سطوح را پایین تر نگه دارد، به علاوه درختان و گیاهان با افزایش رطوبت محیط اطراف خود، شرایط کاهش دمای محسوس هوا از طریق سرمایش تغییری را نیز فراهم می‌آورند (Cheng, Hung and Chen 2010).

اگرچه اختلاف دما در نواحی مختلف شهری ممکن است چندان زیاد نباشد، اما همین مقدار نیز می‌تواند باعث بروز برخی مسائل قابل توجه اجتماعی-محیطی در نواحی شهری شود.

1. Urban Canyons  
2. Land Use



شکل ۱. تأثیر تغییرات اقلیمی بر کاهش بهره‌وری اقتصادی. مأخذ: (Kjellstrom and Meng 2015)

در پژوهشی نشان داده شده است که میزان ساعت‌های کاری نیروهای کار در سال به علت شرایط گرم اقلیمی در نواحی جنوب شرقی آسیا در حال حاضر حدود ۱۰ تا ۱۵ درصد کاهش یافته است و پیش‌بینی می‌شود این رقم تا سال ۲۰۵۰ به ۲ برابر افزایش پیدا کند (Kjellstrom and Meng 2015). جزایر حرارتی به دلیل واکنش شیمیایی ترکیب‌های آلی فرار و گونه‌های مختلف اکسید نیتروژن در هوای گرم و تابش خورشید، با تولید گازهایی نظیر ازن بر کیفیت هوای شهر تأثیر جدی می‌گذارد. به همین جهت بالا رفتن دما و آلودگی هوای تأثیر معکوس بر سلامت انسان گذاشته و باعث عدم آسایش، احتمال بروز آسم و انواع بیماری‌های تنفسی، گرمازدگی، خستگی و حتی مرگ و میر می‌شود (US Environmental Protection Agency 2008).

در گذشته جزایر حرارتی شهری از طریق دمای هوای اندازه‌گیری شده توسط ایستگاه‌های ثابت یا سیار هواشناسی و در ارتفاع ۲ متری از سطح زمین، مشخص می‌شده‌اند (Nassar, Blackburn and Whyatt 2016). هرچند با اختراع فناوری‌های سنجش از راه دور<sup>۱</sup> مادون قرمز حرارتی<sup>۲</sup>، پژوهش‌های متعددی در خصوص تأثیرات جزایر حرارتی سطوح<sup>۳</sup> – که به واسطه اختلاف دمای سطح زمین<sup>۴</sup> در محیط شهری و روستایی ایجاد می‌شود – انجام شده است. داده‌های حاصل از حس‌گرهای ماهواره‌ای مادون قرمز حرارتی، می‌توانند پهنه‌های فضایی وسیعی را تحت پوشش قرار داده و محاسبه دمای هر پیکسل را به صورت سریع‌تر، ارزان‌تر و کاربردی‌تری نسبت به اندازه‌گیری‌های در سطح زمین در اختیار پژوهشگران قرار دهند. علاوه‌بر این، از داده‌های سنجش از راه دور حرارتی می‌توان در مکان‌هایی که ایستگاه‌های هواشناسی پراکنده بوده و یا ناکافی هستند نیز بهره برد (Knight, Claire and Michael 2010).

اگرچه دمای سطح زمین و دمای هوا دو شاخص متفاوت اقلیمی‌اند و معمولاً در یک موضع مقادیر مطلق متفاوتی را نشان می‌دهند؛ اما پژوهشی توسط کوتز و هریس نشان می‌دهد که الگوی تغییرات دمای سطح زمین بر گرفته از تصاویر سنجش از راه دور و الگوی تغییرات دمای هوا، با وجود تفاوت در مقادیر مطلق، مشابه یکدیگرند (Coutts and Harris 2012). بهمنظور اجرای اقداماتی به جهت کاهش پدید آمدن جزایر حرارتی شهری، لازم است تا نحوه توزیع دمای سطوح در نواحی مختلف شهر مورد بررسی قرار گرفته و نقاط با تغییرات حرارتی محسوس مشخص گردد. سنجش از راه دور ماهواره‌ای روش لازم را برای سنجش دمای سطوح در اختیار پژوهشگران قرار داده است که در تحقیقات مختلف اعتبار این روش موردنظری قرار گرفته است.

- 
1. Remote Sensing (RS)
  2. Thermal Infrared (TIR)
  3. Surface Urban Heat Islands (SUHI)
  4. Land Surface Temperature (LST)

در نخستین مطالعاتی که پژوهشگران کوشیدند تا با استفاده از داده‌های مادونقرمز حرارتی چشم‌انداز حرارتی شهری را مطالعه کنند از داده‌های سنجنده NOAA AVHRR استفاده شده است (Balling and Brazell 1988). بعدها داده‌های مادونقرمز حرارتی سنجنده ماهواره لندست<sup>۱</sup> TM، ASTER و ETM+ به ترتیب با قدرت تفکیک مکانی ۱۲۰، ۶۰، ۹۰ متر امکان استخراج درجه حرارت زمین و مطالعه دقیق‌تر جزایر حرارتی شهری را فراهم نمود .(Li, et al. 2013)

در پژوهشی ژائو و مودی، رابطه بین تغییرات کاربری اراضی، پوشش سطح زمین و الگوی دمای سطح زمین در جنوب چین را با استفاده از تصاویر ماهواره لندست سنجنده‌های TM و ETM+ بررسی کردند، تصاویر در سال‌های ۱۹۹۰–۲۰۰۰، برای استخراج دمای روشنایی و کاربری اراضی استفاده شده است (Xiao and Moody 2005). فیضی زاده و بلاسچک، در مقاله خود به محاسبه دمای سطح زمین برای شهر مرااغه به روش سبال پرداختند؛ که نتایج نشان داد بین دمای سطح محاسبه شده و اندازه‌گیری شده زمینی ۱/۶ درصد اختلاف وجود دارد. همچنین رابطه بسیار قوی بین دمای سطح زمین و کاربری اراضی و پوشش گیاهی وجود دارد و مناطق با پوشش گیاهی انبوه دمای سطحی کمتری را نشان می‌دهند (Feizizadeh and Blaschke 2013).

راجشوواری و مانی، از الگوریتم پنجره مجزا برای محاسبه دمای سطح زمین در منطقه‌ای واقع در کشور هند با استفاده از تصاویر اپتیکال و حرارتی ماهواره لندست ۸ استفاده کردند. آن‌ها در این روش برای محاسبه گسیلمندی از روش حد آستانه شاخص اختلاف پوشش گیاهی بهنجار شده، که از باندهای ۲، ۳، ۴ و ۵ استخراج شد استفاده کرده و برای به دست آوردن دمای سطح زمین از باندهای حرارتی ۱۰ و ۱۱ سنجنده موردنظر استفاده کردند. نتایج اختلاف زیادی بین دمای سطح زمین در مناطق بایر و در مناطق کوهستانی فاقد پوشش گیاهی را نشان داد .(Rajeshwari and Mani 2014)

---

1. Landsat

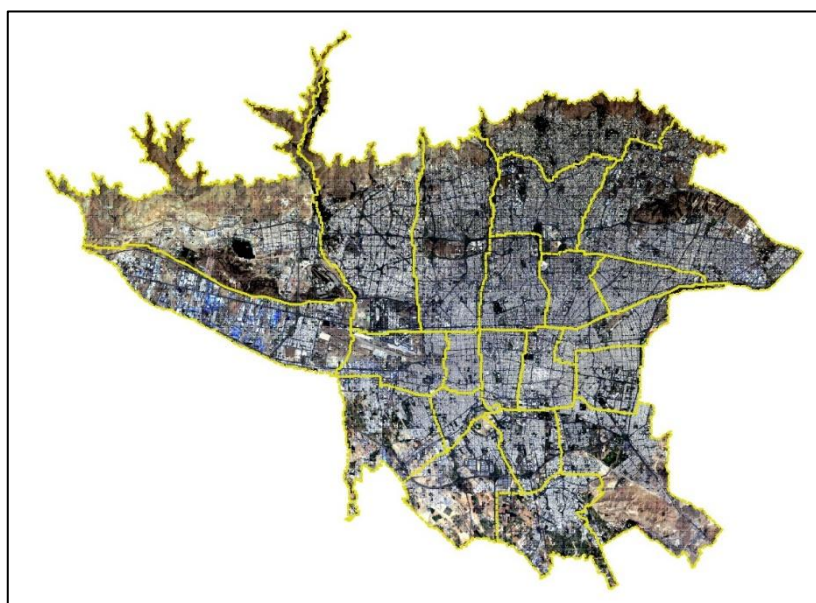
نتایج پژوهشی که دریکی از کلان شهرهای کشور هند از طریق اندازه گیری میدانی دمای هوا و تلفیق آن با داده های سنجش از راه دور شامل لایه های کاربری اراضی و شاخص پوشش گیاهی انجام شده، نشان می دهد که تفاوت دما در نقاط با کاربری ها و تراکم های مختلف ساختمانی بازه بین ۴/۵-۳ درجه سانتی گراد وجود دارد. همچنین همبستگی معکوس میان متغیرهای خرد اقلیمی و پوشش گیاهی گزارش شده است. پژوهشگران به منظور کاهش شدت جزایر حرارتی تدوین سیاست های مقابله با این پدیده را توسط مدیران و برنامه ریزان شهری و همچنین طراحان را پیشنهاد داده اند (Jeganathan, Andimuthu and Kumar 2016).

اهمیت استفاده از روش های طراحی در مقایسه با دیگر روش ها در صرفه جویی مصرف سوخت و انرژی در این موضوع است که در استفاده از سایر روش ها مانند عایق بندی، می باید انرژی به مصرف رسانده شود. از این رو روش های طراحی را می توان در زمرة روش های پاک قلمداد نمود. اولین حوزه ای که ضوابط مربوط به آن می تواند در بهینه سازی مصرف انرژی تأثیر بگذارد، حوزه شهرسازی است. این تأثیر از مراحل ابتدایی یعنی برنامه ریزی و انتخاب محل احداث شهر و یا توسعه های شهری آغاز می شود و تا ساخت و جهت گیری ساختمان ها و معابر که عناصر اصلی تشکیل دهنده شهر هستند، ادامه می یابد (فاضلی و حیدری، ۱۳۹۲).

تاکنون ضوابط شهرسازی متنوعی در خصوص بهینه سازی مصرف انرژی در مناطق شهری پیشنهاد شده است که اکثر این ضوابط مربوط به انتخاب فرم شهرها، تأکید بر جهات قرار گیری بلوک های شهری و معابر در هر اقلیم، نحوه استقرار ساختمان ها نسبت به جهت وزش باد، مکان یابی ساختمان های بلند مرتبه، ضوابط مربوط به سایبان و میزان بازشوها و از این دست بوده و کمتر به اهمیت استفاده از عناصر سبز و پوشش گیاهی، چه از لحاظ مکان یابی در مقیاس کلان در شهرها و چه در مقیاس خرد اقلیم محلی، پرداخته شده است. از این رو هدف این پژوهش بررسی ارتباط میان پراکندگی و تراکم پوشش گیاهی و تأثیر آن بر دمای سطح زمین و درنتیجه پدیده جزیره حرارتی سطوح شهری در کلان شهر تهران از طریق محاسبه دمای سطح زمین و پیدا کردن ارتباط آن با کاربری های متفاوت اراضی شهر و شاخص اختلاف پوشش گیاهی بهنجار شده

می‌باشد. در این پژوهش به منظور بررسی عوامل تأثیرگذار بر مقیاس میانه و محلی جزایر حرارتی شهری، از تصاویر ماهواره‌ای با رزولوشن بالا استفاده شده و به طور همزمان تأثیر عوامل مربوط به کاربری اراضی و پوشش گیاهی بر عرصه‌های طبقات دمایی در کلان‌شهر تهران بررسی گردیده است.

## ۲. منطقه مورد مطالعه



شکل ۲. تصویر کلان‌شهر تهران در خرداد ۱۳۹۵ بداشت شده توسط ماهواره لندست ۸

برای شناخت بهتر مشکل و بررسی ابعاد آن و راه حل‌های پیشگیرانه روش تحلیلی بررسی این جزایر حرارتی در کلان‌شهر تهران به عنوان یک نمونه عینی ارائه می‌گردد. کلان‌شهر تهران (مختصات:  $33^{\circ} 33' - 51^{\circ} 17'$  شرقی و  $35^{\circ} 46' - 36^{\circ} 35'$  شمالی) با مساحتی بالغ بر ۷۳۰ کیلومتر مربع دارای ۲۲ منطقه شهری است و جمعیت حدود ۸/۵ میلیون نفری در این کلان‌شهر به دلیل مهاجرپذیری بالای آن روندی روبه رشد دارد. شهر تهران در دامنه جنوبی رشته کوه البرز و حاشیه

شمالی کویر مرکزی ایران در دشتی نسبتاً هموار واقع شده است. پهنه استقرار آن از جنوب و جنوب غربی متنه به دشت‌های شهریار و ورامین، در سمت شمال به رشته کوه البرز و در شرق و غرب به وسیله دو رود جاجرود و کرج مشخص می‌شود. تهران یک مرکز کلیدی برای تولید، سکونت، تجارت، توزیع و حمل و نقل در کشور ایران است (صادقی نیا، علیجانی و ضیائیان ۱۳۹۱).

### ۳. روش انجام پژوهش

در این پژوهش از داده‌های ماهواره‌ای لندست ۸، تهیه شده از پایگاه داده مشترک ناسا و سازمان زمین‌شناسی ایالات متحده<sup>۱</sup>، برای محاسبه و استخراج داده‌های پایه استفاده شده است. داده‌های ماهواره لندست ۸ در سه سطح تفکیک ۳۰ متری برای باندهای طیفی ۱ تا ۷ و ۹ (شامل طیف‌های رنگی آبی، سبز، قرمز، نزدیک مادون قرمز، دو باند مادون قرمز طول موج کوتاه، و باند ابر سیروس)، ۱۵ متری برای باند طیفی ۸ و ۱۰۰ متری برای باند ۱۰ و ۱۱ (محضوص سنجنده مادون قرمز حرارتی<sup>۲</sup>) تهیه، و با نمونه برداری مجدد در سطح تفکیکی ۳۰ متری در دسترس قرار می‌گیرد. تصویر استفاده شده در این پژوهش در تاریخ ۳۱ خردادماه سال ۱۳۹۵ خورشیدی از سطح زمین برداشت شده و تصحیحات مربوط به پستی و بلندی سطح زمین، و زاویه تابش خورشید بر روی تصاویر اعمال گردیده است. و درنهایت بر مبنای سامانه مختصات تصویری WGS84 یوتی ام<sup>۳</sup> محدوده ۳۹ درجه شمالی، زمین مرجع<sup>۴</sup> شده است.

پس از انجام تصحیحات هندسی و اتمسفری، به منظور تهیه تصویر دمای سطح زمین<sup>۵</sup> به ترتیب نیاز به محاسبه رادیانس و بازتاب طیفی<sup>۶</sup>، بازیابی دمای روشنایی<sup>۷</sup>، محاسبه گسیلمندی

1. <http://earthexplorer.usgs.gov/>

2. TIR- Thermal Infrared

3. UTM-Universal Transverse Mercator

4. Geo-referenced

5. LST-Land Surface Temperature

6. Spectral Radiance and Spectral Reflectance

7. Brightness Temperature

سطح<sup>۱</sup>، و شاخص اختلاف پوشش گیاهی بهنجار شده<sup>۲</sup> می‌باشد. تبدیل ارزش‌های رقومی<sup>۳</sup> باندهای ۱۰ و ۱۱ به رادیانس طیفی و نیز تبدیل ارزش‌های رقومی باندهای ۴ و ۵ به بازتاب طیفی بر اساس مرجع تابش طیفی، با استفاده از ارزش‌های ضریب افزایش<sup>۴</sup> و مقادیر انحراف<sup>۵</sup> تصویر مطابق معادله (۱) صورت می‌پذیرد (بابایی فینی ۱۳۹۴):

$$L_\lambda = (\text{Gain} * Q_{DN}) + \text{Bias} \quad (1)$$

در این معادله  $Q_{DN}$  مقدار کالیبره شده ارزش پیکسلی برای عدد رقومی،  $L_\lambda$  رادیانس طیفی یا بازتاب طیفی سنجنده بر حسب واحد  $\text{Wm}^{-2}\text{Sr}^{-1}\mu\text{m}^{-1}$  می‌باشد (رنگزند، وغیره ۱۳۹۰). مقادیر ضریب افزایش و انحراف از فراداده<sup>۶</sup> تصویر استخراج شده است. سپس برای تبدیل رادیانس طیفی به دمای جسم سیاه از معکوس رابطه پلانک، معادله (۲)، استفاده خواهد شد:

$$T_B = \frac{k_2}{\ln\left(\frac{k_1}{L_\lambda}\right) + 1} \quad (2)$$

در این رابطه  $T_B$  دمای روشنایی سنجنده بر حسب کلوین،  $K_1$  ثابت کالیبراسیون اول بر حسب  $\text{Wm}^{-2}\text{Sr}^{-1}\mu\text{m}^{-1}$ ،  $K_2$  ثابت کالیبراسیون دوم بر حسب کلوین، و  $L_\lambda$  رادیانس طیفی بر حسب  $\text{Wm}^{-2}\text{Sr}^{-1}\mu\text{m}^{-1}$  است. لازم به ذکر است ثابت کالیبراسیون اول و دوم، برای هر کدام از باندهای ۱۰ و ۱۱ به تفکیک در فایل فراداده تصویر لنست ۸ قرار داده شده است.

نسبت بین گسیلش از یک شی به گسیلش از جسمی سیاه در دمای ثابت را گسیلمندی (تابندگی) می‌گویند. مقدار گسیلمندی برای تبدیل دمای روشنایی به دمای جنبشی سطح موردنیاز است، چراکه دمای روشنایی به دست آمده از معادله (۲)، دمایی است که جسم سیاه

- 
1. Surface Emissivity
  2. NDVI- Normalized Difference Vegetation Index
  3. Digital Number (DN)
  4. Gain
  5. Bias
  6. Metadata – Header file

به منظور تولید رادیانس معلوم در طول موج معلوم ( $11/5 \mu\text{m}$ ) دارد. برای محاسبه میزان گسیلمندی از معادله (۳) استفاده می‌شود (Sobrino, Jimenez-Munoz and Paolini 2004)

$$\epsilon = \epsilon_V P_V + \epsilon_S (1 - P_V) + d_\epsilon \quad (3)$$

در این رابطه  $\epsilon_V$  گسیلمندی پوشش گیاهی،  $\epsilon_S$  گسیلمندی خاک،  $P_V$  نسبت پوشش گیاهی به دست آمده از معادله (۴) است.

$$P_V = \left( \frac{NDVI - NDVI_{min}}{NDVI_{max} - NDVI_{min}} \right)^2 \quad (4)$$

و  $d_\epsilon$  شامل اثر پراکنش سطوح و همچنین بازتاب داخلی است، که برای سطوح هموار این مقدار ناچیز بوده و برای سطوح ناهمگون و خشن، به عنوان مثال جنگل‌ها این مقدار می‌تواند تا ۲ درصد نیز برسد. البته به صورت تقریبی با توجه به معادله زیر می‌توان این مقدار را محاسبه کرد (عقیلی نسب، وغیره): (۱۳۹۲)

$$d_\epsilon = (1 - \epsilon_S)(1 - P_V)F \epsilon_V \quad (5)$$

که در این رابطه  $F$  ضریب شکل، که ارزش میانگین آن، با فرض توزیع هندسی متفاوت ۰/۵۵ است. با توجه به معادلات (۳) و (۴) گسیلمندی سطح زمین<sup>۱</sup> به وسیله معادلات (۶) و (۷) محاسبه می‌گردد:

$$\epsilon = mP_V + n \quad (6)$$

$$m = \epsilon_V - \epsilon_S - (1 - \epsilon_S)F \epsilon_V \quad \& \quad n = \epsilon_S + (1 - \epsilon_S)F \epsilon_V \quad (7)$$

به منظور اعمال این روش، مقدار گسیلمندی خاک و پوشش گیاهی به ترتیب ۰/۹۷۳ و ۰/۹۹ در نظر گرفته شد (Sobrino, Jimenez-Munoz and Paolini 2004).

---

1. Land Surface Emissivity (LSE)

تغییرات زمانی و مکانی در ساختار پوشش گیاهی یک محیط توسط شاخص‌های متعددی تحلیل می‌گردد. بر اساس نتایج پژوهش‌های مختلف، انجام تحلیل توسط شاخص اختلاف پوشش گیاهی بهنجار شده، بهترین نتایج را در محیط‌های شهری به همراه داشته است (Shetty and Somashekhar 2014). تحقیقات بسیاری نشان داده‌اند که این شاخص دارای همبستگی مناسبی با متغیرهای اقلیمی نظیر دما، بارش، تعرق و تبخیر در گستره وسیعی از شرایط محیطی بوده، و همچنین ارتباط مستقیم بین دمای سطح زمین و پوشش گیاهی موجود در یک محیط شهری وجود دارد (Jeganathan, Andimuthu and Kumar 2016). به سبب فرایند فتوستتر نور مرئی در دامنه طول موج ۴۰۰ تا ۷۰۰ نانومتر به شدت توسط کلروفیل موجود در سلول‌های گیاهان، جذب می‌شود و در عین حال نور نزدیک مادون قرمز<sup>۱</sup> در دامنه طول موج ۷۰۰ تا ۱۱۰۰ نانومتر، به دلیل آسیب رسیدن به بافت گیاهان در صورت گرمایش بیش از حد، توسط ساختار سلولی گیاهان به شدت بازتاب می‌گردد. بنابراین اختلاف در جذب و بازتاب تابش خورشید، گیاهان در دامنه مرئی طیف نوری تاریک‌تر دیده شده و در دامنه طول موج نزدیک به مادون قرمز روشن‌تر دیده می‌شوند. اجسام آبی میل به جذب شدیدتر طول موج نزدیک مادون قرمز نسبت به طول موج مرئی داشته و درنتیجه در تصاویر حاصل از طول موج مرئی روش تندر. زمین بدون پوشش، و اجزای دیگر نظیر ساختمان‌ها تابش طول موج مرئی و نزدیک مادون قرمز را به یک میزان جذب و بازتاب می‌کنند و درنتیجه در تصاویر دامنه مرئی و نزدیک قرمز مشابه یکدیگر دیده می‌شوند. این اختلاف تواناییه رنگی در تصاویر مختلف کمک می‌کند تا بتوان تفاوت سطوح آبی، گیاهی، خاک و ساختمان‌ها را در تصاویر رادیانس طیفی تشخیص داد (Gates 1980). برای محاسبه شاخص اختلاف پوشش گیاهی بهنجار شده از دو باند قرمز (باند ۴) و نزدیک مادون قرمز (باند ۵) ماهواره لندست ۸ مطابق معادله (۸) استفاده گردید.

1. Near Infrared (NIR)

$$NDVI = \frac{NIR - RED}{NIR + RED} \quad (8)$$

در رابطه فوق NIR و RED به ترتیب رادیانس طیف بازتابی نزدیک به مادون قرمز و قرمز بوده و ارزش شاخص پوشش گیاهی در بازه  $-1 \text{--} 1$  قرار خواهد داشت. سطوح آبی دارای ارزش منفی، سطوح ساخته شده دارای ارزش نزدیک به صفر و گیاهان سبز ارزشی نزدیک به یک دارند. درنهایت برای محاسبه دمای سطح زمین از معادله (۹) بهره گرفته شده است (Artis and Carnahan 1982)

$$T_s = \frac{TB}{1 + \left( \lambda * \frac{TB}{\rho} \right) \ln \epsilon} \quad (9)$$

در این معادله  $T_s$  دمای تصحیح شده سطح زمین بر حسب کلوین،  $T_B$  دمای جسم سیاه بر حسب کلوین،  $\lambda$  طول موج رادیانس گسیل شده ( $11/5 \mu\text{m}$ )،  $(1.438 * 10^{-2} \text{ mK})$  ثابت  $\mathbf{h} = hcK^{-1}$  ( $6.626 * 10^{-34} \text{ Js}^{-1}$ )،  $c = 2.998 * 10^8 \text{ ms}^{-1}$ ،  $K$  ثابت استفان بولتزمن ( $1.38 * 10^{-23} \text{ JK}^{-1}$ )، و  $\epsilon$  گسیلمندی سطح زمین هست. در انتها و به منظور محاسبه دمای سطح زمین بر حسب درجه سانتی گراد لازم است از معادله (۱۰) استفاده گردد:

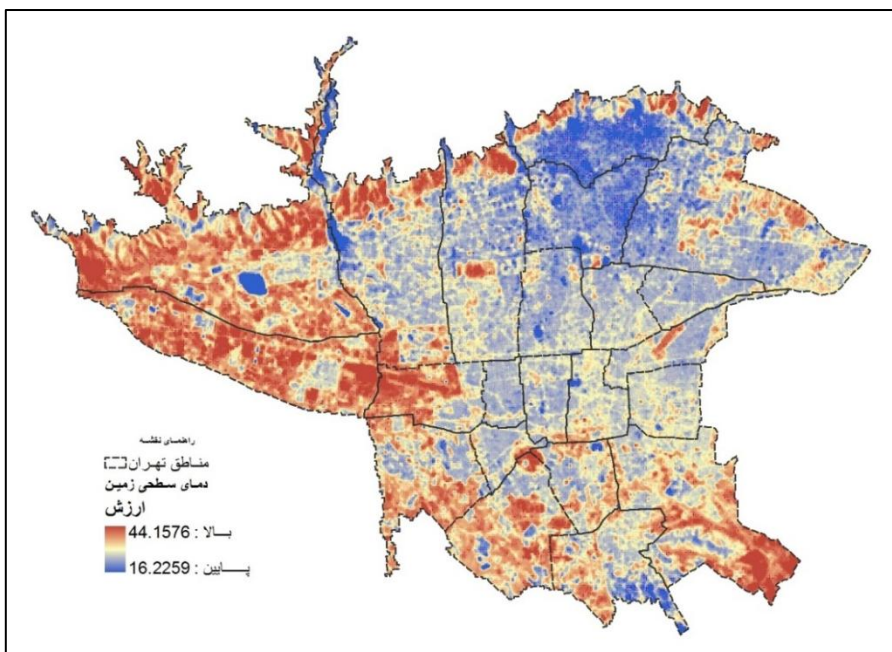
$$T(c) = T(K) - 273.15 \quad (10)$$

#### ۴. یافته‌های پژوهش

در ابتدا باید دقت مدل در استخراج دما ارزیابی شود. به علت آنکه هیچ گونه داده قابل اعتمادی از دمای سطحی تهران هم زمان با عبور ماهواره (حدود  $10:30$  صبح) در دسترس پژوهشگران قرار نداشته تا دقت مدل را برای ناحیه مطالعه ارزیابی کنند؛ با توجه به رابطه دمای سطح زمین و دمای هوای می‌توان دقت مدل را به طور تقریبی ارزیابی کرد. به این منظور یکی از ساده‌ترین و مناسب‌ترین مدل‌های خطی به صورت زیر پیشنهاد شده است (عقیلی نسب، و غیره ۱۳۹۲):

$$T_a = 14.6 + 0.44 * LST \quad (11)$$

در این رابطه  $T_a$  دمای هوا و LST دمای سطح زمین است. با توجه به در دسترس بودن داده‌های دمای هوای ساعتی ایستگاه‌های هواشناسی تهران در حوالی عبور ماهواره (۹:۳۰ صبح) (سازمان هواشناسی کشور ۱۳۹۵)، ابتدا داده‌های دمای سطحی به دست آمده از سنجنده با کمک رابطه بالا به دمای هوا تبدیل، و سپس با داده‌های برخی از ایستگاه‌های هواشناسی شهر تهران مقایسه شدند. جدول (۱) تفاوت دمای هوای تخمینی، دمای ایستگاه هواشناسی تهران و دمای سطح زمین را برای تصویر پردازش شده نشان می‌دهد.



شکل ۳. نقشه توزیع دمای سطح زمین شهر تهران

جدول ۱. مقایسه دماهای اندازه‌گیری شده از تصویر و ایستگاه‌های هواشناسی

چیتگر	شميران	رئوفیزیک	مهرآباد	نام ایستگاه
۲۹	۲۹	۲۸	۳۰	دماهی هوای محاسبه شده از تصویر (C)
۲۸	۲۹,۶	۲۸,۸	۳۱,۲	دماهی هوای اندازه‌گیری شده در ایستگاه هواشناسی (C)
+1	-۰,۶	-۰,۸	-۱,۲	تفاوت دماهای اندازه‌گیری شده (C)

مأخذ: نتایج تحقیق

به منظور شناسایی جزایر حرارتی شهر تهران از طریق دمای سطح زمین حاصل از رابط (۹) (تصویر ۳)، اقدام به طبقه‌بندی داده‌ها به ۵ طبقه دمایی مطابق جدول (۲) گردید.

جدول ۲. نحوه طبقه‌بندی داده‌های دمای سطحی مطالعه شده به ۵ طبقه دمایی

طبقه‌بندی دما	طبقه‌بندی دمای پسیار پایین (۱)	طبقه‌بندی دمای پایین (۲)	طبقه‌بندی دمای متوسط (۳)	طبقه‌بندی دمای بالا (۴)	طبقه‌بندی دمای بسیار بالا (۵)
دماهی طبقه‌بندی	تعریف دامنه مربوط به هر طبقه‌بندی				
$T \leq 30.15$	$T \leq T_{mean} - 1.5 \text{ STD}$				
$30.15 < T \leq 31.43$	$T_{mean} - 1.5 \text{ STD} < T \leq T_{mean} - \text{STD}$				
$31.43 < T \leq 36.55$	$T_{mean} - \text{STD} < T \leq T_{mean} + \text{STD}$				
$36.55 < T \leq 37.83$	$T_{mean} + \text{STD} < T \leq T_{mean} + 1.5 \text{ STD}$				
$T > 37.83$	$T > T_{mean} + 1.5 \text{ STD}$				

مأخذ: نتایج تحقیق

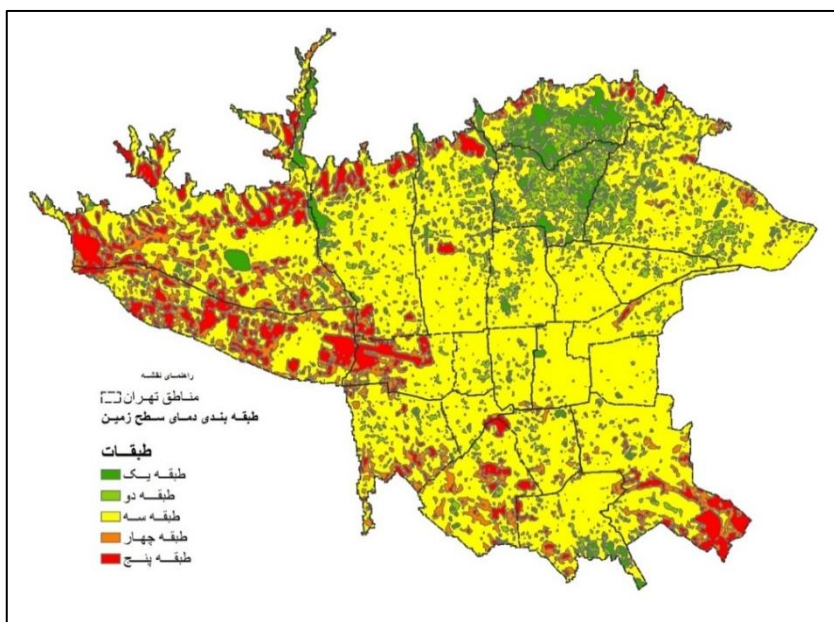
پس از طبقه‌بندی داده‌های دمای سطح زمین در تصویر، مقدار مساحت هر طبقه دمایی در محیط ArcGIS 10.4 محاسبه شد. تا این طریق ارتباط هر طبقه دمایی با شاخص پوشش گیاهی موردبررسی و تحلیل آماری قرار گیرد (تصویر ۴). در جدول (۳) مقدار مساحت هر یک از طبقات دمای سطحی شهر تهران به کیلومترمربع نشان داده شده است. گروه ۱ شامل دماهای بسیار پایین می‌شود. این دسته از داده‌ها مقادیری هستند که بیش از ۱/۵ انحراف معیار از میانگین فاصله دارند و نواحی بسیار خنک شهر تهران را شامل می‌شوند. گروه ۲ شامل دماهای پایین هستند، دماهای این طبقه بین ۱- و ۱/۵- انحراف معیار از میانگین فاصله داشته و نواحی خنک را نشان می‌دهد. گروه ۳ داده‌هایی هستند که بین ۱- و ۱+ انحراف معیار از میانگین فاصله دارند و دماهای متوسط شهر تهران را تشکیل می‌دهند. گروه ۴ بین ۱+ ۱/۵+ انحراف معیار از میانگین فاصله داشته و دماهای بالای شهر تهران را شامل می‌شوند. درنهایت داده‌هایی که بیش از ۱/۵+ انحراف معیار از میانگین فاصله دارند، مناطق بسیار گرم تهران را به خود اختصاص داده‌اند که

طبقه ۵ را تشکیل می‌دهند. با توجه به طبقات دمایی، مناطقی که تحت تسلط گروه ۴ و ۵ هستند جزو محدوده جزیره حرارتی شهر تهران محسوب می‌شوند؛ زیرا این داده‌ها شامل نواحی گرم و بسیار گرم تهران بوده و نقاط کانونی<sup>۱</sup> شهر منطبق بر آن‌هاست.

جدول ۳. طبقات دمایی شهر تهران بر اساس محدوده‌های دمایی

طبقه‌بندی دما	درصد مساحت (%)	مساحت (کیلومترمربع)
دماهی بسیار پایین (۱)	۳,۹۰	۲۹,۲۰
دماهی پایین (۲)	۹,۰۰	۶۷,۶۰
دماهی متوسط (۳)	۶۷,۶۷	۵۱۳,۶۹
دماهی بالا (۴)	۱۰,۸۸	۸۲,۲۵
دماهی بسیار بالا (۵)	۸,۵۵	۶۴,۴۹

مأخذ: نتایج تحقیق



شکل ۴. طبقه‌بندی داده‌های دمای سطح زمین در محدوده موردمطالعه

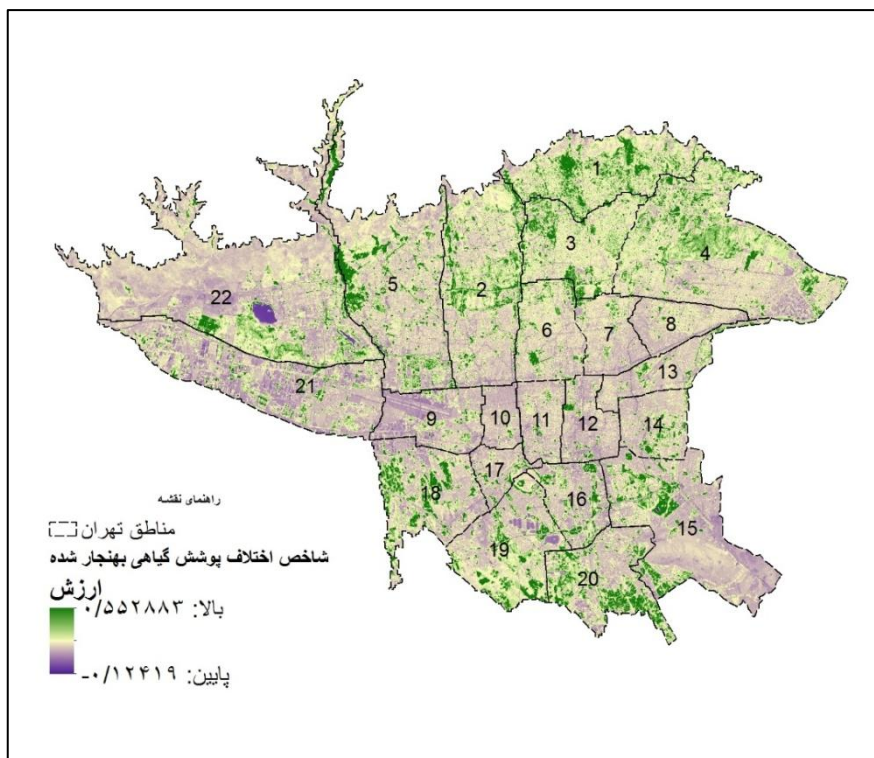
1. Hot-spot

مقایسه پراکندگی دمای سطحی در تصویر (۴) نشان می‌دهد که جزیره حرارتی تهران کما کانون اصلی خود را بر روی فرودگاه مهرآباد حفظ کرده است. خوشهایی نیز در سمت شمال و جنوب شرقی فرودگاه مهرآباد مشاهده می‌شوند و در حال ترکیب کامل با این کانون می‌باشند. علاوه بر این کانون، در محدوده کاربری‌های صنعتی در غرب منطقه ۲۱ خوشهای متعددی شکل‌گرفته است. از دیگر کانون‌های فرعی جزیره حرارتی شهر تهران می‌توان به محدوده سابق فرودگاه قلعه مرغی و فرودگاه دوشان تپه به ترتیب در شمال منطقه ۱۹ و مرکز منطقه ۱۳ شهرداری اشاره کرد. با توجه به اینکه بازتاب در کوهپایه‌های جنوبی رشته کوه البرز، به علت جنس خاک و فقدان پوشش گیاهی و همچنین نوع شیب غیریکنواخت، مقدار قابل توجهی دارد در این محدوده خوشهای متعددی شکل‌گرفته که نمی‌توان از آن‌ها به عنوان کانون‌های جزیره حرارتی یاد کرد.

مقایسه درصد مساحت‌های طبقات دمایی پنج گانه با پژوهش صادقی نیا و همکاران (صادقی نیا، علیجانی و ضیائیان ۱۳۹۱) نشان می‌دهد که در فاصله زمانی ۶ سال از این پژوهش از درصد مجموع مساحت‌های طبقات دمایی پایین و بسیار پایین کاسته شده و به مجموع مساحت‌های طبقات دمایی بالا و بسیار بالا افزوده شده است. (جدول ۴)

جدول ۴. مقایسه درصد مساحت طبقات پنج گانه دمایی شهر تهران در بازه ۶ سال

طبقه ۵	طبقه ۴	طبقه ۳	طبقه ۲	طبقه ۱	
۸,۹۵	۷,۱۷	۷۰,۳۶	۷,۸۲	۵,۷۰	۲۰۱۰ سال
۸,۵۵	۱۰,۸۸	۶۷,۶۷	۹,۰۰	۳,۹۰	۲۰۱۶ سال



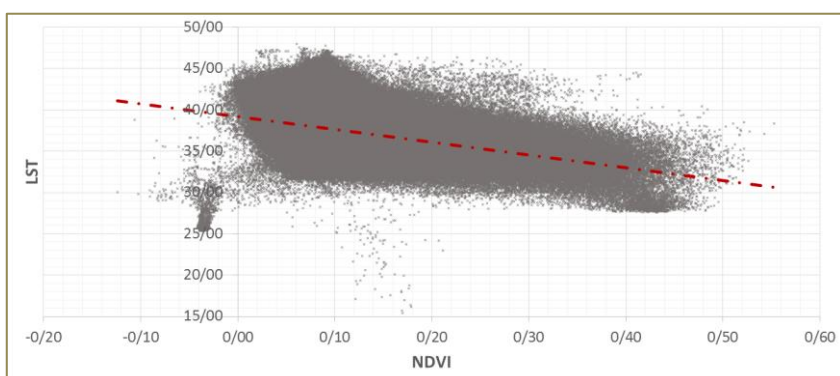
شکل ۵. نقشه اختلاف پوشش گیاهی بهنجار شده شهر تهران

با مقایسه نقشه طبقات دمای سطحی شهر تهران با نقشه اختلاف شاخص پوشش گیاهی بهنجار شده (تصویر ۵)، می‌توان ارتباط میان دمای سطح و پوشش گیاهی را در شهر تهران تحلیل کرد. دمای سطح زمین همواره در نواحی با پوشش گیاهی غنی کمتر از نواحی فاقد پوشش گیاهی است. در محدوده‌هایی نظیر جنوب شرقی منطقه ۲۰، مرکز مناطق ۱ و ۳، و مرز مناطق ۵ و ۲۲، حدود تغییر طبقات دمایی کاملاً بر نقشه پوشش گیاهی منطبق است.

همان‌گونه که مشاهده شد افزایش میزان پوشش گیاهی ارتباط قابل توجهی با کاهش دمای تشعشعی سطوح شهری و درنتیجه آن کاهش تأثیر پدیده جزیره حرارتی شهری دارد. پوشش گیاهی در قالب چندین مکانیسم می‌تواند موجب کاهش دمای محیط اطراف گردد. گیاهان سبز به منظور تولید مواد غذایی و طی فرآیند فتوستزر، مقداری از تابش خورشید را جذب می‌کنند.

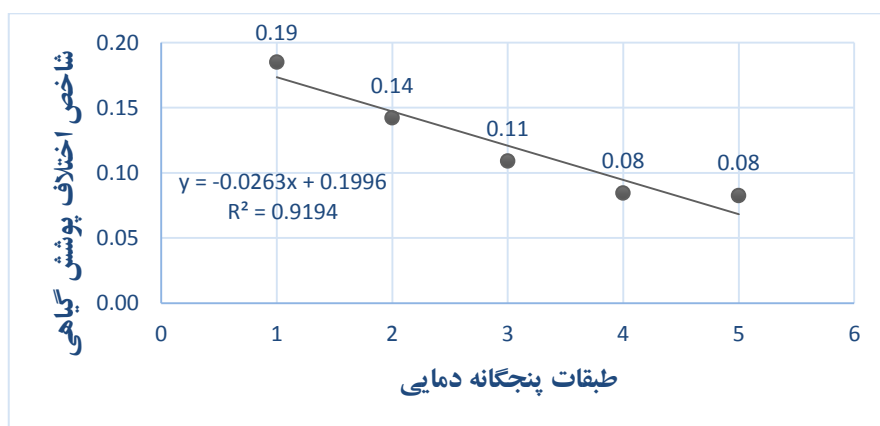
همچنین طی همین فرآیند گیاهان گازهای گلخانه‌ای نظیر دی‌اکسید کربن را به محیط اطراف منتشر کرده که موجب کاهش دما در محدوده مجاور خود می‌شوند. از طرف دیگر گیاهان بر کاهش دمای محدوده اطراف خود از طریق سرمایش تبخیری حاصل از تبخیر رطوبت موجود در برگ‌ها، می‌توانند کمک مؤثر کنند. و سایه ایجاد شده توسط گیاهان موجب کاهش تابش دریافت شده زمین اطراف می‌گردد.

به منظور تعیین نقش پوشش گیاهی در انرژی بازتابشی سطوح و درنتیجه دمای سطح زمین، می‌توان با روش‌های آماری، میزان همبستگی این دو عامل را مورد مطالعه قرارداد. این امر از طریق مقایسه یک به یک ارزش‌های عددی پیکسل‌های تصاویر هریک از این دو متغیر در محدوده مطالعه صورت گرفت (نمودار تصویر ۶). در این تصویر مقادیر مربوط به دمای سطح زمین و همچنین شاخص اختلاف پوشش گیاهی برای تمام پیکسل‌های نقشه تهیه شده (حدود ۸۵۰ هزار پیکسل) ارائه و نمودار روند تغییرات ترسیم شده است. شب منفی این نمودار گویای ارتباط منفی قوی دمای سطح زمین با شاخص اختلاف پوشش گیاهی بوده و با به کارگیری این نمودار می‌توان تغییرات دمای سطح زمین را در کلان شهر تهران در صورت تغییر شاخص اختلاف پوشش گیاهی بهنجار شده پیش‌بینی نمود.



شکل ۶. تحلیل همبستگی دو متغیر دمای سطح زمین (محور عمودی)، و شاخص اختلاف پوشش گیاهی بهنجار شده (محور افقی)

ارتباط میان پوشش گیاهی و طبقات دمایی سطوح در شهر تهران -که معرف کانون پدیده جزیره حرارتی نیز می‌باشد- از طریق محاسبه میانگین تجمعی ارزش‌های عددی پیکسل‌های مربوط به شاخص پوشش گیاهی در محدوده‌های طبقات پنج گانه دمای سطح زمین از طریق تحلیل فضایی صورت گرفت. نمودار تصویر شماره ۷ نتایج رابطه همبستگی میان این دو متغیر را نشان می‌دهد. همان‌گونه که مشهود است ارتباط بسیار قوی ( $R=0.9194$ ) میان فقدان پوشش گیاهی و محدوده‌های با اختلاف دمای بالا نسبت به کل محیط وجود داشته و پوشش گیاهی نقش مهمی در جلوگیری از تشکیل و یا کاهش شدت پدیده جزیره حرارتی شهری ایفا می‌کند.

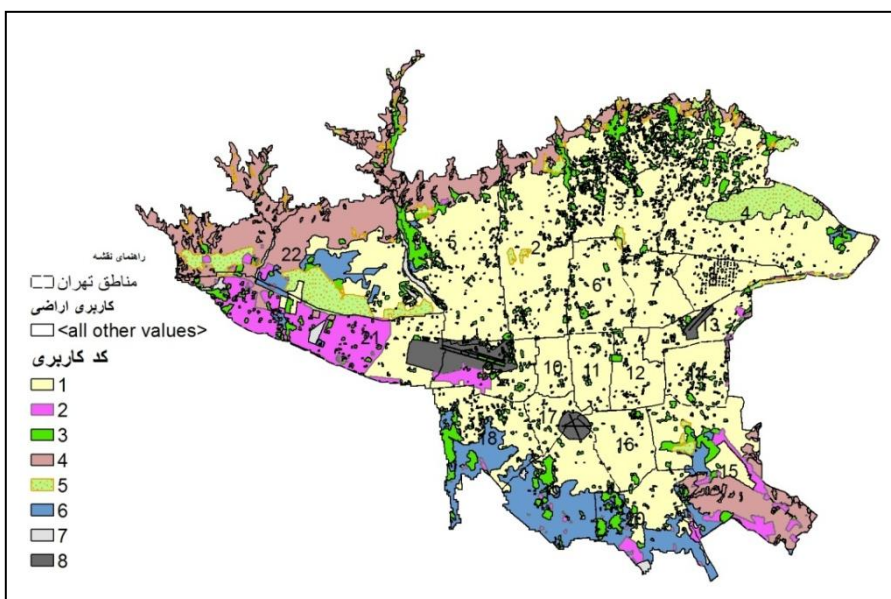


شکل ۷. تحلیل همبستگی دو متغیر شاخص اختلاف پوشش گیاهی بهنجار شده (محور عمودی)، و طبقات پنج گانه دمایی شهر تهران (محور افقی)

در آخر لایه کاربری اراضی شهر تهران در ۸ دسته مطابق جدول شماره ۵ و تصویر شماره ۸ به تحلیل‌ها اضافه شد.

جدول ۵. دسته‌بندی کاربری اراضی شهر تهران

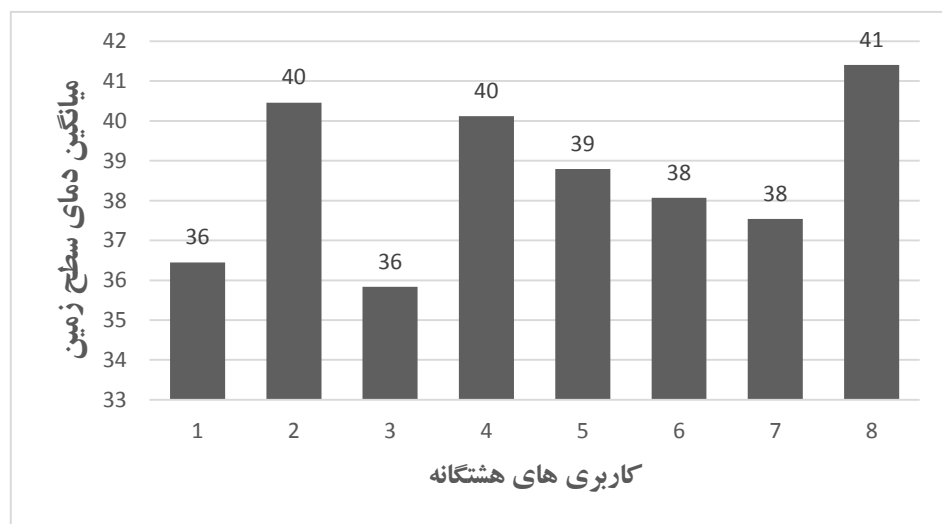
عنوان کاربری	کد دسته	عنوان کاربری	کد دسته
جنگل‌های دست کاشت و مراتع پر تراکم	۵	مراکز جمعیتی شهری	۱
زراعت آبی	۶	تأسیسات شهری	۲
سایر	۷	باغات و مجتمع‌های درختی	۳
فرودگاه‌ها	۸	مراتع با تراکم کم و متوسط	۴



شکل ۸. پراکندگی کاربری اراضی در کلان شهر تهران

میانگین تجمعی دمای سطح در محدوده‌های هر یک از دسته‌بندی‌های ذکر شده از طریق انجام تحلیل‌های فضایی محاسبه گردید. نتایج نشان می‌دهد که کمترین میانگین دما مختص به باغات و مجتمع‌های درختی پراکنده در سطح شهر بوده و بیشترین میانگین دما به ترتیب مربوط به کاربری فرودگاه‌ها، تأسیسات شهری و مراتع با تراکم کم و متوسط بوده است. جالب آنکه دمای بدست آمده برای محدوده مراکز جمعیتی شهری به دلیل وجود پوشش گیاهی در خیابان‌های اصلی، کوچه‌ها و حیاط‌ها، در رتبه خوبی واقع شده است و جنگل‌های دست کاشت و

مرا تع پر ترا کم برخلاف انتظار نتوانسته اند نقش مؤثری در کاهش شدت جزیره حرارتی شهری ایفا کنند (نمودار تصویر ۹). درنتیجه می‌توان اذعان کرد که حفظ و احیای باغات به صورت پراکنده در بافت شهر و پس از آن ایجاد پوشش گیاهی در فضاهای باز عمومی و خصوصی و حاشیه خیابان‌ها به ترتیب می‌توانند تأثیر عمده‌ای بر کاهش شدت جزیره حرارت شهری و درنتیجه آن کاهش سرانه مصرف انرژی در بخش ساختمان داشته باشند.



شکل ۹. نمودار مقایسه‌ای میانگین دمای سطح زمین با دسته‌بندی کاربری اراضی

## ۵. جمع‌بندی

پوشش گیاهی نقش مهمی را در کاهش مشکلات زیست‌محیطی مراکز شهری ایفا می‌کند. و از بین رفتن این پوشش به بحران‌های زیست‌محیطی نظیر کاهش کیفیت هوای شدت یافتن پدیده جزیره حرارتی می‌انجامد. این پدیده عامل مهمی در افزایش مصرف انرژی در بخش ساختمان در شهرهای بزرگ می‌باشد به طوری که افزایش متوسط دمای شهر به ازای هر یک درجه باعث دو درصد مصرف بیشتر در بخش‌های مختلف شده است. درنتیجه پوشش گیاهی را می‌توان به عنوان یکی از شاخص‌های پایداری محیط‌زیست و کاهش مصرف انرژی در جوامع شهری در

نظر گرفته و مدیریت مناسب پراکندگی، تراکم و گوناگونی بافت گیاهی را جزء جدایی ناپذیر اقدامات توسعه شهری قلمداد کرد.

در این پژوهش میزان تأثیر پوشش گیاهی بر دمای سطح زمین و درنتیجه آن کانون‌های پدیده جزیره حرارتی در مقیاس کلان در شهر تهران بررسی شد و سپس با تحلیل ارتباط میان کاربری اراضی با این متغیر و همچنین دمای سطح زمین نشان داده شد که کدام کاربری‌ها نیازمند سیاست‌گذاری جهت توسعه پوشش گیاهی و یا در اولویت برای کاهش تأثیرات پدیده جزیره حرارتی هستند. با توجه به اهمیت موضوع بالا رفتن حرارت شهری به نسبت شرایط معمول که ناشی از سیاست‌گذاری‌های اشتباه مخصوصاً در کشورهای درحال توسعه در برنامه‌ریزی و طراحی شهرها و ساختمان‌ها بوده و موجب افزایش انرژی مصرفی و عدم آسایش حرارتی در فضاهای باز شهری و فضاهای داخلی است، باید راه کارهایی از جهت مکان‌بایی و افزایش سطوح مربوط به پوشش گیاهی در سطح شهر برای مقابله با مشکل جزیره حرارتی ارائه نمود.

در انتهای باید به این نکته نیز اشاره گردد که وجود صنایع و کارگاه‌ها و پایانه‌ها و فروдگاه‌ها در داخل شهرها از جمله عوامل تهدید‌کننده شده و پیشنهاد می‌گردد که این نوع از کاربری‌ها به خارج از شهر منتقل گرددند. به علاوه با توجه به تأثیر فاصله ساختمان‌ها و تراکم آن‌ها و مصالح ساختمانی، لازم است مبانی شهرسازی و روش‌های تعیین تراکم ساختمانی و قوانین ساخت و ساز مرتبط به صورتی هوشمندانه با مطالعه‌ای دقیق تر بازیبینی گردد و در این امر تلفیق معیارهای معماری و شهرسازی برای توسعه‌ای پایدار به صورت علمی و عملی جایگزین راه حل‌های ناکارآمد قبلی شود. در پژوهش‌های آتی می‌توان عملکرد حرارتی، درصد تأثیر و ویژگی‌های ریخت‌شناسی نظیر هندسه، تراکم و ارتفاع لکه‌های سبز شهری که عامل اصلی کاهش تأثیر پدیده جزیره حرارتی شناسایی شدند را مورد بررسی قرارداد.

## منابع

- بابایی فینی، ام السلمه (۱۳۹۴). "بررسی رابطه دمای سطح زمین و شاخص بهنجار شده پوشش گیاهی در محیط شهری (مطالعه موردی: کلانشهر اصفهان)"، *فصل نامه جغرافیای طبیعی*، سال هشتم، شماره ۲۹، صص ۷۵-۹۰.
- پوردیمیمی، شهرام (۱۳۹۰). زیان اقلیمی در طراحی محیطی پایدار: کاربرد اقلیم شناسی در برنامه ریزی و طراحی محیط. جلد یک، مقیاس کلان و میانه. تهران: دانشگاه شهید بهشتی.
- حسنلو، مهدی و حمید مشروطه (۱۳۹۴). "بررسی رابطه کاربری/ پوشش اراضی و جزایر حرارتی شهر کرمان با استفاده از تصاویر لندست-۸"، اولین کنفرانس مهندسی فناوری اطلاعات مکانی. تهران: دانشگاه صنعتی خواجه نصیرالدین طوسی، دانشکده مهندسی نقشه برداری.
- حقیقت خرازی، احمد و محمد فخرزاد (۱۳۹۷). "انرژی‌های حرارتی ناشی از حضور انسان در محیط شهری: مطالعه موردی شهر تهران"، *مجله پژوهش‌های برنامه‌ریزی و سیاست‌گذاری انرژی*، شماره ۱۰، صص ۱۳۵-۱۶۹.
- رنگزن، کاظم؛ فیروزی، محمد علی؛ تقی‌زاده، ایوب و رامین مهدی‌زاده (۱۳۹۰). بررسی و تحلیل نقش کاربری اراضی در شکل‌گیری جزایر حرارتی با استفاده از R.S و GIS: نمونه موردی شهر اهواز"، اولین سمینار ملی کاربرد GIS در برنامه ریزی اقتصادی، اجتماعی و شهری.
- سازمان هوافضایی کشور (۱۳۹۵). دستیابی در تیر ۱۳۹۵. [www.irimo.ir](http://www.irimo.ir).
- صادقی نیا، علیرضا؛ علیجانی، بهلول و پرویز ضیائیان (۱۳۹۱). "تحلیل فضایی-زمانی جزیره حرارتی کلانشهر تهران با استفاده از سنجش از راه دور و سیستم اطلاعات جغرافیایی" ، *جغرافیا و مخاطرات محیطی*، شماره چهارم، صص ۱۷-۱.
- عقیلی نسب، سید زهرا؛ محمدزاده، مرجان؛ سلمان ماهینی، عبدالرسول و حسین زادعی (۱۳۹۲). "تحلیل جزایر حرارتی شهری با استفاده از سنجش از دور و رابطه آن با توسعه دوستدار محیط زیست"، *محیط زیست و توسعه*، سال ۴، شماره ۱، پاییز و زمستان، صص ۸۸-۷۹.
- فاضلی، عبدالرضا و شاهین حیدری (۱۳۹۲). "بهینه‌سازی مصرف انرژی در مناطق مسکونی شهر تهران با استفاده از رویکرد برنامه‌ریزی انرژی روتردام (REAP)" ، *پژوهش‌های برنامه‌ریزی و سیاست‌گذاری انرژی*، شماره ۳، صص ۹۶-۸۳.

متکان، علی اکبر؛ نوحه‌گر، احمد؛ میر باقری، بابک؛ ناهید ترکچین (۱۳۹۳). تحلیل نقش کاربری اراضی در شکل‌گیری جزایر حرارتی با استفاده از داده‌های چند زمانه سنجنده ASTER مطالعه موردی: شهر بندرعباس"، سنجش از دور و سامانه اطلاعات جغرافیایی در منابع طبیعی، سال پنجم، شماره چهارم.

- Artis David A. and Walter H. Carnahan** (1982), "Survey of Emissivity Variability in Thermography of Urban Areas", *Remote Sensing of Environment*, No. 12, pp.313-329.
- Balling R.C. and S.W. Brazell** (1988). "High Resolution Surface Temperature Patterns in a Complex Urban Terrain." *Photogrammetric Engineering and Remote Sensing*, 54(9), pp.1289-1293.
- Cheng K.S., W.C. Hung and Y.C. Chen** (2010). "Comparing landcover patterns in Tokyo, Kyoto and Taipei using ALOS multispectral images", *Remote Sensing of Environment* , 104(2), pp. 133-146.
- Comarazamy D.E., Gonzalez J.E., Luval J.C., Rickman D.L. and P.J. Mulero** (2010). "A Land-atmospheric Interaction Study in the Coastal Tropical City of San Juan, Puerto Rico", *Earth Interact*, No. 14, pp. 1-24.
- Coutts A. and R. Harris** (2012). *Urban Heat Island Report: a Multi-scale Assessment of Urban Heating in Melbourne During an Extreme Heat Event: Policy Approaches for Adaptation*. Melbourne: Victorian Centre for Climate Change Adaptation Research.
- Feizizadeh B. and T. Blaschke** (2013). "Examining Urban Heat Island Relations to Land Use and Air Pollution: Multiple Endmember Spectral Mixture Analysis for Thermal Remote Sensing", *IEEE Journal of selected topics in Applied Earth Observations and Remote Sensing*, 9(3).
- Gates D.M.** (1980). *Biophysical Ecology*. New York: Springer-Verlag.
- Jeganathan A.R. Andimuthu and S.D. Kumar** (2016). "Spatial Variation of Temperature and Indicative of the Urban Heat Island in Chennai Metropolitan Area, India", *Theoretical and Applied Climatology*, No.123, pp. 83-95.
- Kjellstrom T. and M. Meng** (2015). "Impact of Climate Conditions on Occupational Health and Related Economic Losses: A New Feature of Global and Urban Health in the Context of Climate Change", *Asia-Pacific Journal of Public Health*, pp.1-10.
- Knight S.S. Claire and R. Michael** (2010). "Mapping Manchester's Urban Heat Island", *Weather*, 65(7), pp.188-193.
- Li Zhao-Liang, Bo-Hui Tang, Hua Wu, Huazhong Ren, Guangjian Yan and Zhengming Wan** (2013). "Satellite-derived Land Surface Temperature: Current Status and Perspectives", *Remote Sensing of Environment* , pp. 14-37.
- Mariani L.S.G., Parisi G. Cola, Laforteza R., Colangelo G. and G. Sanesi** (2016). "Climatological Analysis of the Mitigating Effect of Vegetation on the Urban Heat Island of Milan, Italy", *Science of the Total Environment*, pp. 762-773.
- Nassar Ahmad K., Alan Blackburn G. and J. Duncan Whyatt** (2016). "Dynamics and Controls of Urban Heat Sink and Island Phenomena in a Desert City: Development

- of a local Climate Zone Scheme using Remotely-sensed Inputs”, *International Journal of Applied Earth Observation and Geoinformation*, No. 51, pp.76-90.
- Oke T.R.** (1987). *Boundary Layer Climates*. London, England: Routledge.
- Oke T.R., Johnson G., Steyn D. and I. Watson** (1991). “Simulation of Surface Urban Heat Island under 'Ideal' Conditions. Part 2: Diagnosis of Causation”, *Bound-Layer Meteorol*, No. 56, pp. 339-358.
- Oke TR.** (1982). “The Energetic Basis of the Urban Heat Island”, *Q. J. R. Met Soc* pp.108 1-24.
- Rajeshwari A. and N.D. Mani** (2014). “Estimation of Land Surface Temperature of Dindigul District using Landsat 8 data”, *IJRET: International Journal of Research in Engineering and Technology*.
- Senanayake I.P., W.D.D.P. Welivitiya and P.M. Nadeeka** (2013). “Remote Sensing based Analysis of Urban Heat Islands with Vegetation cover in Colombo city, SriLanka using Landsat-7 ETM+ data”, *Urban Climate*, No. 5, pp. 19-35.
- Shetty MA. and RK. Somashekhar** (2014). “Assessment of Vegetation cover through NDVI, Bangalore India”, *J Appl Res*, 4(3), pp. 176-197.
- Sobrino Jose A., Juan C. Jimenez-Munoz and Leonardo Paolini** (2004). “Land Surface Temperature Retrieval from LANDSAT TM 5”, *Remote Sensing of Environment*, No. 90, pp. 434-440.
- US Environmental Protection Agency.** (2008). *Reducing Urban Heat Islands Compendium of Strategies: Urban Heat Island Basics*. Washington, DC.: Climate Protection Partnership Division, US Environmental Protection Agency.
- Voogt, J.** (2004). *Urban Heat Island: Hotter Cities*. Washington D.C.: American Institute of Biological Sciences.
- Xiao J. and A. Moody** (2005). “A Comparison of Methods for Estimating Fractional Green Vegetation Cover within a Desert-to-Upland Transition Zone in Central New Mexico, USA”, *Remote Sensing of Environment*, 98(2-3), pp. 237-250.